

Nd₂Al₂O₅

in op. anionenreicher Nd

VIII 2265

1955

M_2RO_3 , где M - пироксенит. Эбенет
 $R = \text{Al}, \text{Fe}, \text{Cr}$
(Tm)

Ruggiero A., Ferro R.,
Gazz. chim. ital., 1955, 85, 892-897

Б

Фрэх, 1956, N15, 46(2)

VIII 1529

1956

La(AlO₃) (Tr); Gd AlO₃, Eu AlO₃,
Lu(AlO₃), Nd AlO₃, Pr AlO₃ (cups)

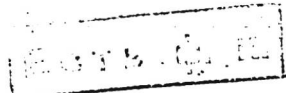
Geller S., Bala V. B.

Acta crystallogr.; 1956, 9, n12,

D, ill.

1019-1025

PARIS, 1957, 73761



$\text{Nd}_2\text{O}_3 \cdot \text{Al}_2\text{O}_3$ БР-3025-VIII 1961.

Торопов Н. А., Киселева Т. Г.

(Tm)

ИС. Неоргак. диссерт.,

1961, 6 № ~~10~~ N10,
2353-58.



VIII 1184

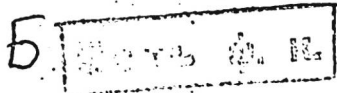
1963

Абсорбаторы пегкозлевитовых
зеленцов (Tm)

Bondar I.A.

Proc. Conf. silicate Ind. 1963, 7,
397-336 (Pub. 1965)

CA, 1966, 64, n8, 10458a



KClO_3 ; KAlO_3 (Tin) VIII 32/1
" - Kegozzilissasvani Энгельсова, 1965
Топливное К. У., Мензелинка
и др., Техник база сортировки.
Ученые советы Тр. Всесоюзного
ОНИИ. Академия наук ССР, 1965 (бюл. 1967),
48-52

5

(P)

СА 1968

VIII 2946

1965

La₂AlO₃, Pr₂AlO₃, Nd AlO₃, Sm AlO₃,
Eu AlO₃, Gd AlO₃, Dy AlO₃ (Tm)

Портной К.И., Тимирзевба Н.И.,
Изд. АН СССР. Неорганс. материалы,
1965, 1, №9, 1598-1601

5

Библиотека

СА, 1966, 69, №10, 137264

VIII $\text{Li}_2\text{V}_3 - \text{Ti}_2\text{V}_3$

VIII 4269 1967

Eyring L.

"Lanthanide / Actinide
Chem., Washington, D. C., Amer.
Chem. Soc. 1967, 67-85"

17

(40) me

PZEXNU, 225 892 (1968)

PrAlO_3 (Tr) ? VIII 3603 1969
 NdAlO_3 (Tr)

Scott J. F.

Phys. Rev. 1969, 183(3), 823-5.

Raman study of trigonal - cubic phase transitions in rare - earth aluminates.

6 6 19

CA, 1969, 71, N18, 86383

FeAlO_3 , MgAlO_3 , LaAlO_3 , (TaO_3) 1970
 CaAlO_3 , LaTaO_3 , LaGaO_3 , (TiO_2) 1970

SmAlO_3 VIII 3921
Geller S., Racah P. M.
Phys. Rev., 1970, B, [3], 2, № 4, 467-472
(cont.)

Phase transitions in porous
silica-like compounds of
the rare earths.

6 ① ✓ 09/1970, 23, N 18, 02368j

NdAlO₃

AlO₃ Nd

крист.

exp-ра

VIII - 4380 1971

8 Д560. Измерение ИК-спектров и спектров комбинационного рассеяния решетки AlO₃Nd. Alain P., Piriou B. Étude I.R. et Raman des vibrations de réseau de AlO₃Nd. «Phys. status solidi (b)», 1971, 43, № 2, 669—680 (франц.; рез. англ.)

В диапазоне 80—30 000 см⁻¹ исследованы поляризованные ИК-спектры отражения и спектры комб. рас. моноокристаллов AlO₃Nd, ориентированных под углами $E, c) = 90^\circ$ и $(E, c) = 35^\circ$. Выделены частоты, активные в спектрах комб. рас. и выполнен теоретико-групповой анализ спектров. Показано, что кристаллич. решетка AlO₃Nd, как и кристаллич. решетки AlO₃Pr и AlO₃La, относится к пространственной группе D_{3d}^5 . Библ. 10.

В. Н. Ш.

Ф. 1971. 8Д

NdAlO₃

VIII-5430

1971-2

34805s Soft-mode spectroscopy of neodymium aluminate.
Scott, J. F. (Dep. Nat. Philos., Univ. Edinburgh, Edinburgh,
Scot.). *Proc. Roy. Soc. Edinburgh, Sect. A* 1971-1972 (Pub.
1972), 70, 263-6 (Eng). A trigonal-to-cubic phase transition
in NdAlO₃ below the m.p. ($\sim 2180^{\circ}\text{K}$) was predicted by the
temp. dependence of the frequencies, line widths, and cross sec-
tions of the soft modes, A_{1g} and E_g . Thus, these soft-mode fre-
quencies decreased with increasing temp. $\leq 1000^{\circ}\text{K}$. Extrap-
olation to zero frequency indicated a phase transition at 1600-
1700°K in good agreement with the value 1900°K detd. by S.
Geller and P. Raccah (1970) by DTA.

(T_m; T_f)

C.A. 1973, 78, 16

40214.6100
Ex-Ch/XHB-Z,
Ch, TE

$\text{Nd}_2\text{O}_3 \cdot 8\text{Al}_2\text{O}_3$
(пироксен) 89480

1.973
1715

Yajima Seishi, Okamura Kiyohito,
Shishido Togetsu. Synthesis of lanthan-
noid aluminates (β - Al_2O_3 type) using
arc plasma flame.

"Chem. Lett.", 1973, N12, 1331-1334

(англ.)

031 031-037 0044 ВИНИТИ

NdAlO_3

1976

Колл. Т. З., упр.

Вестн. хим. геол. КноЖ

1976, 17(5), 836

(16f)



(coll. LaAlO_3 ; I)

1977

NdAlO₃

86: 5178. Phase diagram of the system aluminum oxide-neodymium oxide at high temperatures. Mizutani, Masao; Yamada, Toshiaki; Noguchi, Tetsuo (Govt. Ind. Res. Inst., Nagoya, Japan). *Yogyo Kyokaishi*, 1977, 80(2), 50-5 (Eng.).

The liquidus curve of the Al_2O_3 -Nd₂O₃ system was constructed by cooling curves detd. by the specular reflection method with a heliostat-type solar furnace. Quenched specimens from the melt were examd. by x-ray diffraction technique, petrography and chem. anal. Single phase NdAlO₃ with the perovskite structure was obtained by heating at 1300 and 1600° in an elec. resistance furnace and also by cooling the specimen fused in the solar furnace. The reversible phase transition of NdAlO₃ (rhombohedral cubic) was confirmed at $\sim 1160^\circ$. The lattice parameters of the rhombohedral phase are $a_0 = 5.351 \text{ \AA}$, $60^\circ 10'$ at 1160°, and of the cubic phase, $a_0 = 3.92 \text{ \AA}$ at 1150°. The variation of unit cell vol. ΔV is only 0.42%. The refractive

Tet

C.A. 1977, 26N16

indices of NdAlO₃ are $m_r = 1.6 \pm 0.002$, $n_r = 1.030 \pm 0.002$. The presence of Nd₂O₃.11Al₂O₅ (β-Al₂O₃ type) was also obse. However, in fused Nd₂O₃.11Al₂O₅, Nd₂O₃.11Al₂O₅ was not formed as a single phase but always coexisted with NdAlO₃. The lattice parameters of the Nd₂O₃.11Al₂O₅ phase are $a_0 = 5.55$, $c_0 = 22.03$ Å, $c/a = 3.97$. A tentative phase diagram for the Al₂O₃-Nd₂O₃ system at high temp. is given. The phase diagram shows 2 eutectics points at 1720°, 23 mol % Nd₂O₃, and at 1850°, 80 mol % Nd₂O₃. The cooling curve of Nd₂O₃ showed exothermic peaks related to solid-state phase transformations below the solidification point.

Al₂O₃

1977

17 Б1038. Фазовая диаграмма системы Al₂O₃—Nd₂O₃ при высоких температурах. Mizuno Masaо, Yamada Toyoaki, Noguchi Tetsuo. Phase diagram of the system Al₂O₃—Nd₂O₃ at high temperatures. «Егё кёкайси, Yogyo kyokaishi, J. Ceram. Soc. Jap.», 1977, 85, № 978, 90—95 (англ.; рез. япон.)

С помощью высокот-рной дифрактометрии, микроско-
лич. и хим. методов исследовано соотношение фаз в
системе Al₂O₃—Nd₂O₃ (I) при т-рах до ~2300°. Пред-
ставлена фазовая диаграмма системы, в к-рой обра-
зуется соединение NdAlO₃. (II) с т. пл. 2165±20°. II
претерпевает фазовое превращение из ромбоэдрич. в
кубич. фазу при ~1100°. Параметры решетки ромбоэд-
рич. фазы II a 5,351 Å, α 60°10' (1075°), кубич. фазы II
 a 8,792 Å (1150°). В системе две эвтектики: при 23 мол. %
I, т. пл. 1720°, и при 80 мол. % I, т. пл. 1850°. Обнару-
жено также образование фазы I·11 Al₂O₃, к-рой всегда
相伴ствует фаза II. I·11 Al₂O₃ обладает гексагон.
структурой (тип β-Al₂O₃) с параметрами a 5,55, c 22,03
 c/a 3,97 Å.

Л. Г. Титов

II. 1977
IV 14

NdAeO₃

1977

Trollskob D.D. vgr.

(ΔH₉₇₅)

Teg. geke. - 7⁰² Beeb. komp.
m kalibrall. 31/I 77 - 3/II - 77
H-3; exp 13.

Al_2O_3 - Nd_2O_3 | Commodore 9053 | 1978

Contributed by P.

(Tm) Rare Earths in Modern
Science and Technology
1978, 31-44.

Ed. Gregory J. McParttly
and J. J. Mayne.

1978

21 Б925. Фазовая диаграмма системы $\text{Al}_2\text{O}_3-\text{Nd}_2\text{O}_3$ при высоких температурах. Mizuno Masaо, Yamada Toyoaki, Kitade Shigeki, Sakamoto Kunitoshi, Noguchi Tetsuo. «Нагоя когё гидзицу сикэнсё хококу, Repts Govt Ind. Res. Inst., Nagoya», 1978, 27, № 4, 131—137 (япон.; рез. англ.)

Кривые ликвидуса двойной системы $\text{Al}_2\text{O}_3-\text{Nd}_2\text{O}_3$ получены из кривых охлаждения методом зеркального отражения с помощью солнечной печи гелиостатного типа. Охлажденные пробы расплавов исследованы методами рентгенографии, дифрактометрии, петрографии, микроскопии и хим. анализа. При нагревании образца до 1600° в печи сопротивления и плавлении в солнечной печи эквимол. смеси Nd_2O_3 и Al_2O_3 получена фаза NdAlO_3 со структурой перовскита. В охлажд. расплаве состава $\text{Nd}_2\text{O}_3 \cdot 11\text{Al}_2\text{O}_3$ обнаружена структура $\beta=\text{Al}_2\text{O}_3$. В образце существовали две фазы NdAlO_3 и $\text{Nd}_2\text{O}_3 \cdot 11\text{Al}_2\text{O}_3$ со структурой типа $\beta=\text{Al}_2\text{O}_3$. Методом высокот-рной рентгенографии дифрактометрии в NdAlO_3 при 1100° обнаружен обратимый фазовый переход из ромбоэдрич. в кубич. структуру. Приведена фазовая диаграмма системы при высоких температурах. Резюме

— 1099 — VIII -

фазовые
диаграммы

Х.1978 № 21

NdAlO_3

Lommel 12549 | 1981

NdCoO_3

Coutures J.-P.
et al.

NdCrO_3

NdSeO_3

High Temp. Sci.,
1981, 13, 331-36.

Tm; Tc

NdAlD₃ Océr. 19079 1984

Coutures J., Coutures J.P.

Z. Solid State Chem.,
Tz; 1984, 52, N2, 95-100.

NdAlO_3

$$T_{\text{tr}} = \frac{1550^{\circ}\text{C}}{273} \xrightarrow[\text{reac.}]{\text{poln.}} \text{kyS.}$$

PrAlO_3 1330

$$\frac{273}{1603 \text{K}}$$

1985

23 Б3114. Фазовая диаграмма [системы] Al_2O_3 — Nd_2O_3 . The Al_2O_3 — Nd_2O_3 phase diagram. Состу-
тес J. P. «J. Amer. Ceram. Soc.», 1985, 68, № 3, 105—
107 (англ.).

С помощью термич. анализа и рентгенографии изучены фазовые соотношения в системе Al_2O_3 (I) — Nd_2O_3 (II). Образцы получены сплавлением соотв. смесей I и II в печи типа гелиостат. Приведена фазовая диаграмма системы, в к-рой установлено образование трех соединений: соединения типа β -I, перовскитной фазы NdAlO_3 (III) и $\text{Nd}_4\text{Al}_2\text{O}_9$ (IV). Первая фаза — гексагон., $P\bar{6}_3/tmc$; $a = 0,556$; $c = 2,202$ нм; $c/a = 3,96$; плавится инконгруэнтно при 1900°C . III — тригон., $\bar{R}\bar{3}c$, $a = 0,528$ нм; $\alpha = 60^\circ 30'$; плавится конгруэнтно при 2090°C . IV — монокл.; $P2_1/c$; $a = 0,772(5)$; $b = 1,084(6)$; $c = 1,130(6)$ нм; $\beta = 109^\circ 30'$ плавится инконгруэнтно при 1905°C . Две эвтектики между II и IV, β -I и III соотв. имеют т. пл. 1800 и 1750°C и содержат $22,5$ и 80 мол. % I. Не подтверждены лит. данные о наличии эвтектики между III и II.

Л. Г. Титов

NdAlO_3
 $\text{Nd}_4\text{Al}_2\text{O}_9$

1985, 13, N 23.

Nd Al₂O₃

1985

Nd₄Al₂O₉

102: 171391g The aluminum oxide-neodymium oxide phase diagram. Coutures, J. P. (Cent. Rech. Phys. Hautes Temp., Cent. Natl. Rech. Sci., 45045 Orleans, Fr.). *J. Am. Ceram. Soc.* 1985, 68(3), 105-7 (Eng). A tentative phase diagram for the system Al₂O₃-Nd₂O₃ is presented. Three compds. were obtained: a β -Al₂O₃-type compd., the perovskite NdAlO₃, and Nd₄Al₂O₉. The perovskite melts congruently (m.p. 2090°), and the 2 other compds. exhibit incongruent melting behavior: β -Nd/Al₂O₃, m.p. 1900°; Nd₄Al₂O₉, m.p. 1905°. Two eutectics exist with the following compns. and m.ps.: 80 mol% Al₂O₃, 1750°; 23 mol% Al₂O₃, 1800°. Nd₂Al₄O₉ decomps. in the solid state at 1780°.

(Tn)

C.A. 1985, 102, N20

Nd Al₂O₃

Nd Al₂O₃

1993

Мурзаков О.А. и др. (Д.В.Дробот)
ИИХХ, 1993, 38, №1, 1870-1874

Очка
 $\Delta Hf(1998) = -1751 \text{ кДж/моль}$

NdAlO_3

1994

ΔH_f , $\text{deznitskii L.A., filippova S.E.}$,
(Teopetrur.
раскачивание)

Neorg. Mater. 1994, 30(11),

нр. 1095.
cb - fa 1487-8

(ал. LaAlO_3 ; I)

Kanke Y., Navrotsky J.

1998

J. of Solid State Chem.
1998, 141, pp. 424 - 436

ΔH_f

$P_2O_5CO_3$

V_2O_5
 La_2O_3

[Этилминий образование
реакции - анонинидов P_3V_3]



Om. 39710/

1999

F: NdAlO₃

P: 1

ЗБ337. Теплоемкость NdAlO[3] от 0 до 900 К. The heat capacity of NdAlO[3] 0 to 900 K / Van der Laan R. R., Konings R. J. M., Van Genderen A. C. G., Miltenburg J. C. // Thermochim. acta. - 1999. - 329, 1. - С. 1-6. - Англ.

Методом низкот-рной адиабатич. калориметрии при т-рах от 4 до 420 К измер теплоемкость алюмината неодима NdAlO[3]. Для более высоких т-р вплоть до 900 К теплоемкость была получена из измерений инкремента энталпии при т520-880 К, проведенных с использованием высокот-рной калориметрии вбрасыв. Показано, что два набора калориметрич. данных хорошо согласуются друг с другом. а основе результатов измерения теплоемкости в интервале т-р 10-900 рассчитаны термодинамические функции NdAlO[3]. 10-900 K

РЖС

ЗБ337

NdAlO₃

1999

(Om. 39710)

131: 24190m The heat capacity of NdAlO₃ from 0 to 900 K. van der Laan, R. R.; Konings, R. J. M.; van Genderen, A. C. G.; van Miltenburg, J. C. (NRG, P.O. Box 25, 1755 ZG Petten, Neth.). *Thermochim. Acta* 1999, 329(1), 1–6 (Eng), Elsevier Science B.V.. The heat capacity of neodymium aluminate, NdAlO₃, has been measured by low-temp. adiabatic calorimetry from 4 to 420 K, yielding $S^0(298.15\text{ K}) = (99.3 \pm 0.3)\text{ J K}^{-1}\text{ mol}^{-1}$. For temps. up to 900 K the heat capacity has been derived from enthalpy-increment measurements (520–880 K) using high-temp. drop calorimetry. The two sets of calorimetric data are in excellent agreement and show no transition in the measured temp. range.

(Cp, S⁰₂₉₈)

C.A., 1999, 131, N2.

NdAlO_3 42242 2001

Laan (R.R. van der), Konings R.J.M.

C_p , Thermodynam. Acta, v. 375, p. 135 (2001)

S_{298} Даническое значение, Технические
 NdAlO_3 от 0 до 900К (1999.)

$$[S_{298} = (105.0 \pm 0.3) \text{ J} \cdot \text{K}^{-1} \text{mol}^{-1}]$$

NdAlO_3

$\text{Nd}_4\text{Al}_2\text{O}_9$

$\text{NdAl}_{11}\text{O}_{18}$

42346 | 2008
eos 20

Saad J. E., Dongwon S., Stevenson A.J.,
Messing G., Zi-Kui Liu

J. Amer. Ceram. Soc., 2008, v. 91, 3355–3361

First-Principles Calculations and Thermal
Modeling of the Al_2O_3 – Nd_2O_3 System.